

## ЭЛЕМЕНТЫ ОПТИЧЕСКИХ СИСТЕМ ОБРАБОТКИ ИНФОРМАЦИИ

УДК 535.241.13 : 534

В. А. ТАРКОВ, Ю. Н. ТИЩЕНКО,  
А. В. ТРУБЕЦКОЙ, П. М. ШИПОВ

(Новосибирск)

### АКУСТООПТИЧЕСКИЙ МОДУЛЯТОР СО ВСТРЕЧНЫМИ АКУСТИЧЕСКИМИ ПУЧКАМИ НА ОДНООСНОМ ОПТИЧЕСКИЙ АКТИВНОМ КРИСТАЛЛЕ

**Введение. Постановка задачи.** Акустооптические модуляторы со встречными акустическими пучками (АОМ ВАП) впервые предложены для корреляционной обработки сигналов [1–3] и для быстрой голограммической записи цифровых данных [4].

Рассмотрим особенности применения АОМ ВАП в системе голограммической записи цифровых данных. На рис. 1 показана оптическая схема, иллюстрирующая принцип записи одномерных голограмм, где 1 — АОМ ВАП, состоящий из светозвукопровода с двумя пьезопреобразователями *a* и *b*, возбуждающими встречно-распространяющиеся акустические пучки; 2, 4 — объективы, реализующие перенос изображения АОМ ВАП в плоскость регистрирующей среды 5; 3 — экран, перекрывающий недифрагированный свет. Назначение АОМ ВАП — ввод данных с компенсацией доплеровского сдвига частоты света, дифрагированного на акустических волнах. С этой целью на оба пьезопреобразователя АОМ ВАП подается частотно-кодированный сигнал, в котором каждому двоичному разряду записываемого слова соответствует своя частота синусоидального сигнала. В результате дифракции света на двух акустических пучках образуются два дифрагированных световых пучка с одинаковыми значениями доплеровского сдвига частоты света. При этом в плоскости записи голограмм формируются стационарные интерференционные решетки. Таким образом, запись данных с помощью АОМ ВАП может вестись при длительных экспозициях, в результате чего снижаются требования к мощности источника света и чувствительности регистрирующей среды [4].

Одно из основных требований к АОМ ВАП в системе голограммической записи цифровых данных — широкая полоса акустических частот, необходимая для реализации скоростных методов записи данных. Кроме того, при применении источников света с малой длиной когерентности излучения, например полупроводниковых лазеров, необходимо обеспечить взаимную когерентность световых пучков, дифрагированных в АОМ ВАП. Вследствие этого встречные акустические пучки в светозвукопроводе модулятора должны иметь общую область пересечения.

Перспективными материалами для разработки АОМ ВАП являются одноосные кристаллы с оптической активностью, в которых возможна аномальная дифракция света на звуке с широкой полосой акустических частот.

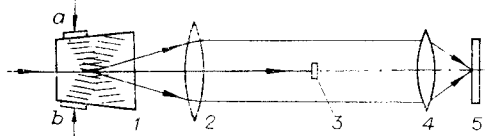


Рис. 1.

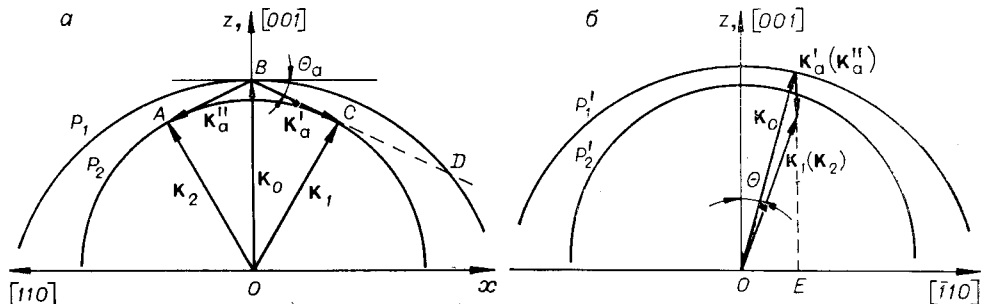


Рис. 2.

Примером могут служить монокристаллы парателлурита ( $\text{TeO}_2$ ), широко применяемые в акустооптических дефлекторах света [5—7]. Важное преимущество кристаллов  $\text{TeO}_2$  — их акустическая анизотропия, которая приводит к отклонению вектора потока энергии акустической волны от волновой нормали. Это позволяет осуществить пространственное разделение излучателей и поглотителей звука в АОМ ВАП.

В отличие от акустооптических дефлекторов света в АОМ ВАП должны обеспечиваться условия аномальной широкополосной дифракции света не на одном, а одновременно на двух акустических пучках, и, кроме того, должна сохраняться возможность получения требуемых значений средней акустической частоты дифракции за счет изменения направления распространения акустических и световых волн в кристалле.

Возникает таким образом задача выбора в одноосном оптически активном кристалле такой геометрии взаимодействия световых и акустических волн, которая обеспечит требуемые параметры АОМ ВАП.

Исходя из этого, в данной статье предложена и исследована геометрия взаимодействия световых и акустических волн для АОМ ВАП на одноосном оптически активном кристалле. Получены выражения для расчета оптимальных направлений распространения акустических и световых волн в кристалле, характерных акустических частот дифракции и ориентации поляризации дифрагированного света. Осуществлена разработка и исследованы характеристики образцов АОМ ВАП на кристалле  $\text{TeO}_2$ , предназначенных для применения в системе голограммической записи цифровых данных.

**Выбор геометрии взаимодействия и расчет параметров дифракции света.** Пространственная диаграмма волновых векторов взаимодействующих световых и акустических волн, предлагаемая для АОМ ВАП на одноосном оптически активном кристалле, показана в двух проекциях на рис. 2, а, б. Направления кристаллографических осей соответствуют случаю использования кристалла  $\text{TeO}_2$ , в котором аномальная дифракция света возможна на сдвиговых акустических волнах, распространяющихся вблизи направления  $[110]$  и поляризованных по направлению  $[1\bar{1}0]$ . На рис. 2, а  $P_1$ ,  $P_2$  — сечения поверхностей волновых векторов кристалла плоскостью  $\Pi_1$ , проходящей через волновые векторы  $K'_a$  и  $K''_a$  двух встречно-распространяющихся акустических волн. Причем плоскость  $\Pi_1$ , векторов  $K'_a$  и  $K''_a$  выбрана параллельной оптической оси кристалла  $z$  (направление  $[001]$ ). Модули волновых векторов  $K'_a$  и  $K''_a$  соответствуют акустическим волнам с частотой, равной средней частоте информационного сигнала. Отрезки  $OB$ ,  $OC$ ,  $OA$  на рис. 2, а представляют собой проекции на плоскость  $\Pi_1$  волнового вектора падающего света  $K_0$  и волновых векторов  $K_1$  и  $K_2$  дифрагированных световых волн соответственно. На рис. 2, б показана проекция диаграммы волновых векторов на плоскость  $\Pi_2$ , проходящую через оптическую ось  $z$  и волновой вектор падающего света  $K_0$ . Кривые  $P_1'$  и  $P_2'$  являются сечениями поверхностей волновых векторов кристалла плоскостью  $\Pi_2$ . В общем случае волновой вектор падающего света  $K_0$  проходит под некоторым углом  $\Theta$

к оптической оси  $z$ , в результате чего оптическая ось наклонена к плоскостям дифракции света.

Для обеспечения дифракции света в широкой полосе акустических частот векторы звука  $\mathbf{K}_a$  и  $\mathbf{K}'_a$  должны быть направлены по касательной к кривой  $P_2$  (см. рис. 2,  $a$ ). При этом на средней акустической частоте концы волновых векторов звука  $\mathbf{K}'_a$  и  $\mathbf{K}''_a$  совпадают с точками касания  $A$  и  $C$ . Модули волновых векторов равны

$$K_0 = 2\pi n_1 / \lambda; K_1 = K_2 = 2\pi n_2 / \lambda; K'_a = K''_a = 2\pi f_c / V,$$

где  $n_1, n_2$  — показатели преломления кристалла для падающего и дифрагированного света соответственно;  $V$  — скорость звука в кристалле;  $f_c$  — средняя акустическая частота. С увеличением угла наклона вектора  $\mathbf{K}_0$  к оптической оси  $z$  растет разница в показателях преломления кристалла  $n_1$  и  $n_2$ ; также возрастает длина отрезка  $AC$ , а следовательно, и средняя акустическая частота дифракции. Это позволяет получать заданное значение средней акустической частоты  $f_c$  путем выбора оптимального значения угла  $\Theta$ .

Другой характерной акустической частотой дифракции является частота вырождения  $f_v$ , при которой происходит перекачка света во 2-й порядок дифракции. Если вдоль вектора звука  $\mathbf{K}'_a$  провести прямую до пересечения с кривой  $P_1$  в точке  $D$  на рис. 2,  $a$ , то модуль волнового вектора звука на частоте вырождения будет равен половине длины отрезка  $BD$ .

Получим явные выражения для частот  $f_c$  и  $f_v$ . Поверхности волновых векторов положительного одноосного оптически активного кристалла  $\text{TeO}_2$  могут быть аппроксимированы эллипсоидами вращения с полуосами

$$\begin{aligned} A_1 &= (2\pi/\lambda)(n_o + \delta), & B_1 &= (2\pi/\lambda)n_e, \\ A_2 &= (2\pi/\lambda)(n_o - \delta), & B_2 &= (2\pi/\lambda)n_o, \end{aligned} \quad (1)$$

где  $n_o, n_e$  — обычный и необычный показатели преломления кристалла;  $\delta = \rho\lambda/2\pi$ , причем  $\rho$  — удельное вращение плоскости поляризации света в кристалле. Тогда из рис. 2,  $a$  следует, что сечения  $P_1, P_2$  эллипсоидов вращения являются эллипсами с полуосами

$$a_i = A_i(1 - \alpha^2/B_i^2)^{1/2}; b_i = B_i(1 - \alpha^2/B_i^2)^{1/2}. \quad (2)$$

Здесь индекс  $i = 1$  соответствует эллипсу  $P_1$ , индекс  $i = 2$  — эллипсу  $P_2$ , а  $\alpha = (2\pi/\lambda)n_1 \sin \Theta$  представляет собой длину отрезка  $OE$  (см. рис. 2,  $b$ ). Зависимость показателя преломления  $n_1$  от угла  $\Theta$  описывается выражением

$$n_1 = (n_o + \delta) n_e / [(n_o + \delta)^2 \sin^2 \Theta + n_e^2 \cos^2 \Theta]^{1/2}. \quad (3)$$

Найдем координаты точек касания  $C$  и пересечения  $D$  на рис. 2,  $a$ . С этой целью решим систему из уравнений эллипса и прямой вида

$$\left. \begin{aligned} z^2/a_i^2 + x^2/b_i^2 &= 1, \\ z &= \gamma x + c, \end{aligned} \right\} \quad (4)$$

$c = (2\pi/\lambda)n_1 \cos \Theta$ ,  $\gamma = -\tan \Theta_a$ , а  $\Theta_a$  — угол наклона волнового вектора звука по отношению к оси  $x$  (направление [110] кристалла  $\text{TeO}_2$ ). Из системы (4) для координаты  $x$  имеем уравнение

$$m_i x^2 + 2n_i x + p_i = 0, \quad (5)$$

где

$$\left. \begin{aligned} m_i &= a_i^2 + b_i^2 \gamma^2, \\ n_i &= b_i^2 \gamma c, \\ p_i &= b_i^2 (c^2 - a_i^2). \end{aligned} \right\} \quad (6)$$

Точки касания  $C$  соответствует случай единственного решения уравнения (5) при условии

$$n_2^2 - m_2 p_2 = 0. \quad (7)$$

Подставляя в (7) значения  $n_2$ ,  $m_2$ ,  $p_2$  из (6), найдем, что

$$\gamma = -\sqrt{c^2 - a_2^2}/b_2.$$

Тогда, выполняя преобразования с учетом соотношений (1)–(3), получим выражение для определения угла наклона вектора звука  $K_a'$  в зависимости от параметров кристалла и угла  $\Theta$  в виде

$$\gamma = -\tan \Theta_a = -\frac{1}{n_o} \left[ \frac{4n_o^3 n_e^2 \delta + (n_o^2 - \delta^2)^2 (n_e^2 - n_o^2) \tan^2 \Theta}{n_o^2 n_e^2 - (n_o + \delta)^2 (n_e^2 - n_o^2) \tan^2 \Theta} \right]^{1/2}. \quad (8)$$

При этом координаты точки касания  $C$ , найденные из (5), равны  $x_1 = -n_2/m_2$ ,  $z_1 = -\gamma(n_2/m_2) + c$ , а координаты точки  $B$  —  $x_0 = 0$ ,  $z_0 = c$ . Тогда длина отрезка  $BC$  будет

$$BC = [(x_1 - x_0)^2 + (z_1 - z_0)^2]^{1/2} = (1/c) b_2^2 \gamma \sqrt{1 + \gamma^2}$$

Отсюда, выполняя преобразования с учетом (1)–(3), получим, что

$$f_c = \frac{V}{2\pi} BC = \frac{V}{\lambda} \left\{ \frac{n_o^2 n_e^2 - (n_o + \delta)^2 (n_e^2 - n_o^2) \tan^2 \Theta}{(n_o + \delta) n_e [n_e^2 + (n_o + \delta)^2 \tan^2 \Theta]^{1/2}} \right\} \gamma \sqrt{1 + \gamma^2}, \quad (9)$$

где  $\gamma$  определяется выражением (8).

Координаты  $x_2$ ,  $z_2$  точки пересечения  $D$  находим из уравнения (5) для случая  $i = 1$ :

$$x_2 = -2b_1^2 c \gamma / (c^2 + b_1^2 \gamma^2); \quad z_2 = -2b_1^2 c \gamma^2 / (c^2 + b_1^2 \gamma^2) + c.$$

Отсюда следует, что

$$BD = 2b_1^2 c \gamma \sqrt{1 + \gamma^2} / (c^2 + b_1^2 \gamma^2).$$

Выполняя теперь преобразования с учетом соотношений (1)–(3), получим

$$f_b = \frac{V}{2\pi} \frac{BD}{2} = \frac{V}{\lambda} \frac{(n_o + \delta) n_e^3 \gamma \sqrt{1 + \gamma^2}}{[(n_o + \delta)^2 + \gamma^2 n_e^2] [n_e^2 + (n_o + \delta)^2 \tan^2 \Theta]^{1/2}}. \quad (10)$$

Необходимо отметить, что скорость звука в (9), (10) в кристалле  $\text{TeO}_2$  зависит от угла наклона  $\Theta_a$  вектора  $K_a'$  к оси [110]; эта зависимость описывается выражением  $V \approx V_0 (1 - b \Theta_a^2) \approx V_0 (1 + b \gamma^2)$ , где  $V_0 = 0,617$  км/с,  $b = -5,3$ .

На рис. 3 приведены результаты расчета угла  $\Theta_a$  и частот  $f_c$ ,  $f_b$  для кристалла  $\text{TeO}_2$  в зависимости от угла отклонения  $\Theta$  падающего света от оптической оси кристалла. Расчеты выполнены при условии, что  $\lambda = 0,89$  мкм (полупроводниковый лазер),  $n_e = 2,36355$ ,  $n_o = 2,2179$ , а  $\rho = 38,5$  град/мм ( $\delta = 9,52 \times 10^{-5}$ ). Вначале из (8) было получено значение угла  $\Theta_a$ , затем — соответствующее этому направлению значение скорости звука  $V$  и, наконец, из (9), (10) — значения частот  $f_c$  и  $f_b$ . По графикам рис. 3 можно определить оптимальные значения углов  $\Theta$  и  $\Theta_a$  для заданного значения  $f_c$ . Так, например, если  $f_c = 100$  МГц, то  $\Theta = 10,3^\circ$ ,  $\Theta_a = 3,65^\circ$ .

Как видно из рис. 3, значения  $f_c$  и  $f_b$  для  $\text{TeO}_2$  оказываются близкими, поэтому частота  $f_b$  может попадать в пределы рабочей полосы частот. При этом на частоте  $f_b$  будет наблюдаться нежелательный спад интенсивности света, дифрагированного в первый порядок дифракции. Для уменьшения относительной величины этого спада в АОМ ВАП на  $\text{TeO}_2$  целесообразно подавать малую управляющую мощность с тем, чтобы эффективность дифракции света не превышала  $\sim 50\%$  [5].

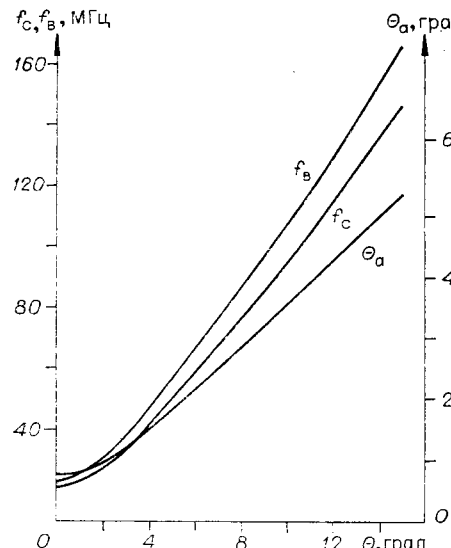


Рис. 3.

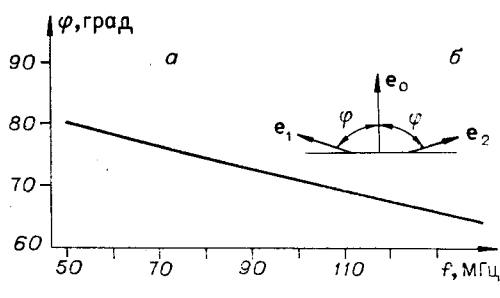


Рис. 4.

**Поляризация дифрагированного света.** В области вне акустического пучка поляризация дифрагированной световой волны будет совпадать с поляризацией одной из собственных волн кристалла. Собственные волны одноосного оптически активного кристалла имеют в общем случае эллиптическую поляризацию, причем степень эллиптичности зависит от угла распространения света по отношению к оптической оси кристалла. Для кристалла  $\text{TeO}_2$  эллиптическая поляризация вырождается практически в линейную при распространении света под углом больше  $4 \div 6^\circ$  к оптической оси [8]. Поэтому далее будем считать, что угол  $\Theta$  между вектором  $K_0$  и осью  $z$  на рис. 2, а велик настолько, что поляризацию всех световых волн в кристалле можно считать линейной. В процессе дифракции света в АОМ ВАП необыкновенно-поляризованная световая волна преобразуется в волну с обычной поляризацией. При этом единичный вектор  $e_0$  электрической индукции падающей световой волны должен лежать в плоскости, проходящей через вектор  $K_0$  и оптическую ось  $z$ . Единичный вектор  $e_1$  поляризации дифрагированной световой волны с волновым вектором  $K_1$  будет перпендикулярен плоскости, проходящей через вектор  $K_1$  и оптическую ось  $z$ . Можно показать, что в системе координат на рис. 2, а, б  $e_0 = j \cos \Theta - k \sin \Theta$ , где  $j, k$  — единичные векторы, ориентированные вдоль осей  $y, z$ . Вектор  $e_1$  находится из выражения

$$e_1 = [kK_1]/|[kK_1]|,$$

где квадратные скобки означают векторное произведение, а  $K_1 = K_0 + K_a = jK_0 \sin \Theta + iK_a \cos \Theta + k(K_0 \cos \Theta - K_a \sin \Theta)$  ( $i$  — единичный вектор, ориентированный вдоль оси  $x$ ). Угол  $\varphi$  между векторами  $e_0$  и  $e_1$  находится путем вычисления их скалярного произведения  $\cos \varphi = (e_0 e_1)$ . Подставляя сюда значения векторов  $e_0$  и  $e_1$  и выполняя преобразования, получим

$$\cos \varphi = \left( \frac{\lambda f}{V n_1} \right) \frac{\cos \Theta \cos \Theta_a}{[\sin^2 \Theta + (\lambda f / V n_1)^2 \cos^2 \Theta_a]^{1/2}}. \quad (11)$$

На рис. 4, а представлены результаты расчета угла  $\varphi$  из (11) для случая применения кристалла  $\text{TeO}_2$ . Расчеты проведены при условии, что  $\lambda = 0,89 \text{ мкм}$ ;  $\Theta = 10,3^\circ$ ;  $\Theta_a = 3,65^\circ$  ( $f_c = 100 \text{ МГц}$ );  $V = 0,65 \text{ км/с}$ ;  $n_1 \approx 2,35$  (в зависимости от акустической частоты  $f$ ). Можно видеть, что в диапазоне рабочих акустических частот угол  $\varphi$  несколько изменяется и на средней частоте ( $f_c = 100 \text{ МГц}$ ) примерно равен  $71^\circ$ . Очевидно, что вектор поляризации  $e_2$  второго дифрагированного светового пучка (с волновым вектором  $K_2$ ) также повернут на угол  $\varphi$  относительно вектора  $e_0$  и симметричен по отношению к вектору  $e_1$ , как это показано на рис. 4, б.

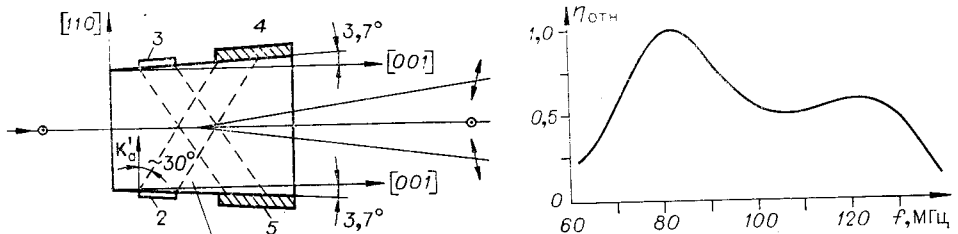


Рис. 6.

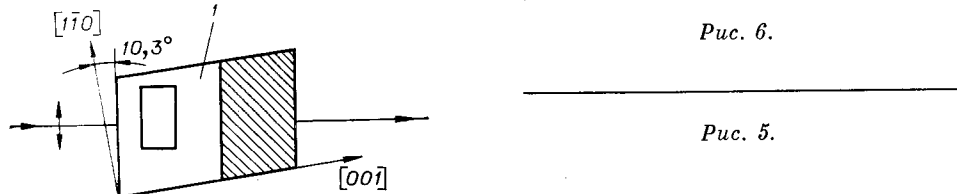


Рис. 5.

Известно, что при записи голограмм максимальный контраст интерференционных полос получается в том случае, когда поляризация сигнального и опорного пучков перпендикулярна плоскости их пересечения. Вследствие этого при применении АОМ ВАП, созданных на основе  $\text{TeO}_2$ , в оптическую систему записи голограмм целесообразно вводить специальные оптически активные пластины, поворачивающие векторы поляризации дифрагированных пучков на угол  $\phi$  до совмещения с вектором поляризации  $e_0$  падающего света.

**Конструкция и характеристики экспериментальных образцов АОМ ВАП.** Разработаны образцы АОМ ВАП на кристаллах  $\text{TeO}_2$  для длины волны излучения полупроводникового лазера с  $\lambda = 0,89$  мкм. Средняя акустическая частота АОМ ВАП 100 МГц. В соответствии с графиками, показанными на рис. 3, угол распространения падающего света к оптической оси кристалла выбран равным  $\Theta = 10,3^\circ$ , а угол наклона векторов звука к оси  $[110]$  —  $\Theta_a = 3,7^\circ$ .

Конструкция АОМ ВАП показана на рис. 5 в двух проекциях, где 1 — светозвукопровод из кристалла  $\text{TeO}_2$ ; 2, 3 — пьезопреобразователи; 4, 5 — поглотители ультразвука. Вследствие акустической анизотропии кристалла поток энергии акустической волны в кристалле образует угол  $\sim 30^\circ$  с направлением акустического волнового вектора. В результате этого излучатели и поглотители звука в АОМ ВАП могут быть пространственно разделены. Пьезопреобразователи сдвиговых волн изготавливались из пластин ниобата лития (срез  $y + 163^\circ$ ) и соединялись со светозвукопроводом с помощью диффузионной индивидуальной сварки. Размер электродов пьезопреобразователя составляет  $2,5 \times 1,5$  мм (1,5 мм в направлении распространения света). Согласование импеданса пьезопреобразователей осуществлялось в диапазоне частот 55—135 МГц при величине КСВ < 2.

Исследованы характеристики экспериментального образца АОМ ВАП. Плоскость поляризации излучения лазера ( $\lambda = 0,89$  мкм) ориентирована перпендикулярно направлению распространения акустических волн в АОМ ВАП. В оба канала АОМ ВАП подавалось напряжение с частотой  $f = 100$  МГц, и одновременно наблюдались два дифрагированных световых пучка, плоскость поляризации которых была повернута на угол  $\phi = 71 \pm 2^\circ$  по отношению к поляризации падающего света. Полученное значение  $\phi$  хорошо совпадает с расчетным значением для данной частоты (см. рис. 4, a). Эффективность дифракции света в модуляторе измерялась для каждого канала в отдельности на акустической частоте  $\sim 80$  МГц при управляющей электрической мощности  $\sim 0,3$  Вт; для обоих каналов она была равна 50%. Зависимость относительной эффективности дифракции от акустической частоты для одного из каналов модулятора показана на рис. 6. Видно, что на уровне половинного спада интенсивности дифрагированного света от максимального зна-

чения ширина полосы частот модулятора равна  $\Delta f = 60$  МГц (в диапазоне 70—130 МГц).

Оценим скорость голографической записи данных, которая может быть получена при применении АОМ ВАП на  $\text{TeO}_2$ . Известно [4], что при параллельном вводе информационного сигнала в оба канала АОМ ВАП разрешение голограммы вдвое превышает разрешение модулятора. Тогда число двоичных разрядов записываемой на голограмму информации  $M = 2N/K$ , где  $N = \tau\Delta f$  — разрешение модулятора по критерию Рэлея ( $\tau$  — апертурное время модулятора;  $K$  — коэффициент, выбираемый из условия обеспечения требуемого отношения сигнал/шум). Частота дифракции и положения плоскости поляризации дифрагированного света в зависимости от параметров кристалла и угла распространения падающего света по отношению к оптической оси кристалла. Эти выражения целесообразно применять при проектировании и оптимизации конструкции АОМ ВАП.

На основе полученных формул проведен расчет геометрии взаимодействия световых и акустических волн в АОМ ВАП на кристалле  $\text{TeO}_2$  и созданы экспериментальные образцы таких модуляторов с параметрами: рабочая длина волны света  $\lambda = 0,89$  мкм, полоса акустических частот 60 МГц (в диапазоне от 70 до 130 МГц), дифракционная эффективность для каждого из каналов 50% (при управляющей электрической мощности 0,3 Вт). Модулятор предназначен для голографической записи цифровых данных, поступающих со скоростью до 60 Мбит/с.

Авторы выражают благодарность В. М. Москалеву за проведение диффузионной вакуумной сварки пьезопреобразователей.

#### ЛИТЕРАТУРА

1. Montgomery R. M. Acousto-optical signal processing system.— Filed 15.07.70. Cl. G 01 R 23/16, USA. Pat. 3634749.
2. Престон К. Когерентные оптические вычислительные машины.— М.: Мир, 1974.
3. Бухарин Н. А., Головин А. В., Есепкина Н. А., Лавров А. П. Исследование возможности реализации акустооптического спектроанализатора с высоким разрешением.— В кн.: Квант. электроника: Труды ЛПИ, 1982, № 387.
4. Вовк Ю. В., Щепеткин Ю. А. Синтез голограмм двоичной информации акустооптическими модуляторами.— Автометрия, 1980, № 2.
5. Warner A. W., White D. L., Bonner W. A. Acousto-optic light de lectors using optical activity in paratellurite.— J. Appl. Phys., 1972, vol. 43, N 11, p. 4489—4495.
6. Тищенко Ю. Н., Трубецкой А. В. Некоторые вопросы создания и исследования акустооптического дефлектора на монокристаллах  $\text{TeO}_2$ .— Автометрия, 1979, № 1.
7. Семенков В. П. Анизотропный акустооптический дефлектор на одноосных кристаллах с оптической активностью.— ЖТФ, 1981, т. 51, вып. 10.
8. Yano T., Watanabe A. Acousto-optic figure of merit of  $\text{TeO}_2$  for circularly polarized light.— J. Appl. Phys., 1974, vol. 45, N 3, p. 1243—1245.

Поступила в редакцию 3 января 1984 г.